

レーザー-ヘテロダイイン分光法による赤外スペクトルの測定
Measurements of IR spectra with Laser Heterodyne Spectrometry

岡野章一, 上山弘, 市川敏朗*, 富田二三彦**

S. Okano, H. Kamiyama, T. Ichikawa* and F. Tomita**

東北大歯学部超高層物理学研究施設, *朝日大・歯, **郵政省電波研究所

Upper Atmosphere and Space Research Laboratory, Tohoku University,

* School of Dentistry, Asahi University, ** Radio Research Laboratories

序

レーザー-ヘテロダイイン分光法は、信号光のスペクトルをマイクロ波帯に変換して測定できるために極めて分解能が高い。また局発レーザーに波長可変半導体レーザー (Tunable Diode Laser) を用いることにより測定波長を任意に選択できることから、気体分子の赤外吸収、赤外放射を利用した地球および惑星大気のリモートセンシングに非常に有効な手段となりうる。

我々は、太陽を光源とした赤外域レーザー-ヘテロダイイン分光計の開発を行なってきたが、 $9\mu\text{m}$ 付近の地球大気の吸収スペクトルの測定に成功したのでここぞ報告する。

レーザー-ヘテロダイイン分光計

レーザー-ヘテロダイイン分光計の構成については、先づレーザーレーダシンポジウムにおいて報告してあるので、ここでは主要な点のみを述べる。今回の測定

は波長可変半導体レーザーの特性を生かした波長走査方式を用いて行なわれた。太陽光は 30cm ヘリオ

スタートによって追尾され光学ベンチ上に配置された

レーザー-ヘテロダイイン分光計に導かれる。信号光の

コリメーションは BaF_2 レンズによって行なわれる。

局発光はレーザー・アナリティクス製 TDL の単一モード発振

を用いて KBr レンズでコリメートされた後、ZnS 製ビーム

スプリッターにより信号光とともに BaF_2 レンズ ($f/2$) で

赤外検出器に結像される。赤外検出器は SAT 製

HgCdTe 光起電力型で 3dB 帯域幅 1100MHz であるが、最近、より量子効率の高い ($q \sim 59\%$) のものに

交換され本報告での測定に用いられた。赤外検出器からのヘテロダイイン信号の出力はコンデンサー結合

を経て、 3dB 帯域 $5 \sim 1000\text{MHz}$ のモジュールアンプ

2個 ($32\text{dB} + 48\text{dB}$) により増幅され、二乗特性をもつクリスタルダイオードで検波された後 積分回路を

経て、太陽光のショッパー信号 (400Hz) を参照信号としてロックインアンプで測定される。

TDL の発振特性は、波数分解能 0.5cm^{-1} の回折格子分光器を用いてあらかじめ調べられ、TDL 温度が高いほど 単一モード発振に近くことがわかった。

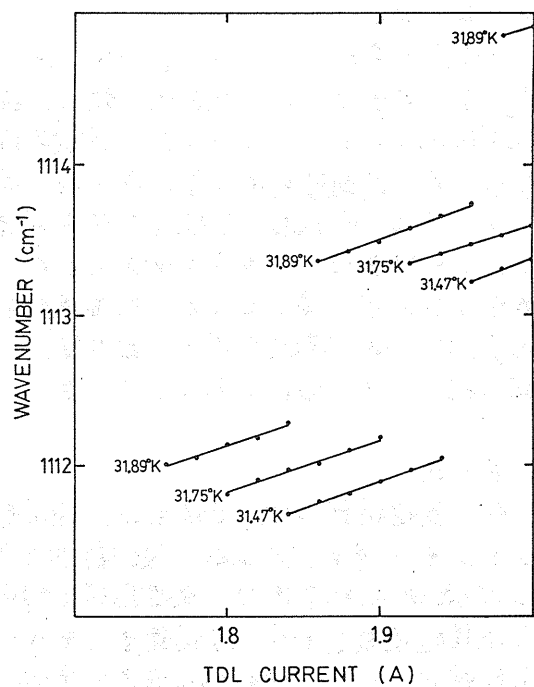


図 1 単一モードでの局発レーザー発振特性

ヘテロダイン信号の検出には、TDL 温度 32°K 附近、TDL 電流 1.9A 附近での波数域 $1113 \sim 1115\text{ cm}^{-1}$ の単一モード発振を使うことにした。オ1図にこの条件での TDL 発振特性の測定例を示す。モード間隔は約 1 cm^{-1} 、電流による単一モードの波数可変範囲は約 0.4 cm^{-1} である。

ヘテロダイン信号による赤外スペクトル

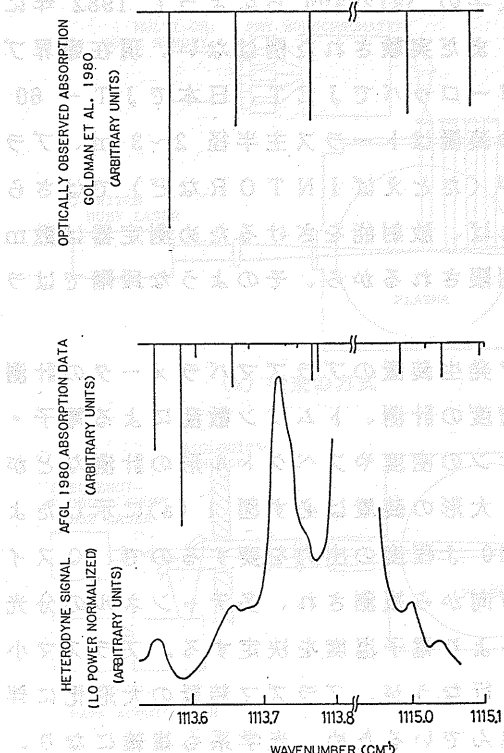
オ2図に測定の生データを局発光の強度変動とともに示す。TDL 電流値約 1.965 A 附近に mode hopping があり、この附近では単一モード発振が不安定になりヘテロダイン信号は大きくノイズを含むがそれ以外の部分では大気による吸収がみられる。このスペクトルがヘテロダイン信号によるものであることは、(i) 信号光を遮断すると出力がなくなくなること、および(ii) 太陽天頂角が大きくなると吸収が強くなることから確認された。オ2図の生データを、局発レーザー光の強度変動で規格化し、またあらかじめ得られている TDL 電流値対単一モード発振波数の関係を用いて大気の吸収スペクトルに直したものを作成下段に示す。この波数域に存在する吸収線はほとんどすべてオゾンによる吸収線であり、AGL の吸収線データから予想される吸収線の中間に位置、相対強度を中段に、また Goldman et al. (1980) の Michelson 型 Fourier 分光計による大気の

吸収スペクトル測定

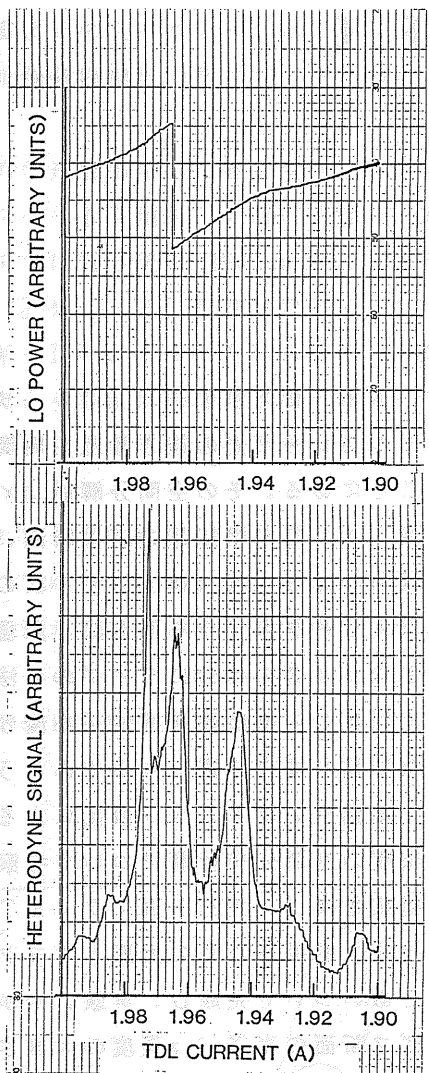
(分解能 $\approx 0.06\text{ cm}^{-1}$)
から得られている吸収
線の中心位置、相対
強度を上段に示す。

オ3図にみられるように
ヘテロダイン信号は
あくまでも予想される
吸収線の位置に
吸収を示しており、
さらに Fourier 分光計
では分離し得ない
吸収線の存在も示していることがわかる。

現在の問題点は、ヘテロダイン信号で得られる
吸収線の幅が装置の性能から予想されるものよりも
広いことであり、これは局発レーザー光の発振波数の
振動または発振波数幅の拡がりに起因するものと
考えられ対策を検討していく。



オ3図 局発レーザー光の強度で規格化された
ヘテロダイン信号による大気吸収スペクトル
(下段) および AGL の吸収線データ (上段)
(中段) と Fourier 分光計による大気吸収スペクトル
(下段)



オ2図 ヘテロダイン信号の生データ
(下段) および局発レーザー光
の強度変動 (上段)